

## 碎波の水粒子速度の算定式の提案

京都大学工学部 岩垣雄一、酒井哲郎、○東洋建設 田中幹

1 はじめに 昨年度、斜面上の碎波の水粒子速度は非対称な碎波波形に支配されることはいう観点に立って、碎波の時間波形と冲波波形勾配  $H_0/L_0$  および底勾配  $i$  との関係を明らかにするために、図-1 に示す 25 個のパラメータと  $H_0/L_0$  および  $i$  との関係を、38 の実験ケースについて検討した。図-2 はその一例で、 $t_{ro,1}/T$  の場合である。図中には各々毎にその平均的傾向を示す曲線が描かれてある。このように、碎波の時間波形と  $H_0/L_0$  および  $i$  との間には、ある程度のばらつきはあるがその関係が一応明確にされた。しかししながら、冲波波形勾配と底勾配を与えて斜面上の碎波の水粒子速度を算定するという立場からすれば、すでにオ21回海岸工学講演会で述べた Dean の流れ関数の定数  $X_n(n=1\sim N)$  と  $H_0/L_0$  および  $i$  との関係を明確にし、それを用いて水粒子速度を算定する方が直接的であり簡単である。このよう立場に立て、 $X_n$  と  $H_0/L_0$  および  $i$  との関係を図-2 と同様に表示して調べて見だが、波形のパラメータの場合にくらべてばらつきが大きく、ここで描かれた平均曲線を用いても、それによつて算定した斜面上の碎波の峯の位相における水平方向水粒子速度の鉛直分布は、実験値の傾向を説明しきれない。

2 碎波波形の再現 そのため、ここでは図-2 に示した碎波の時間波形を表現する 25 のパラメータと  $H_0/L_0$  および  $i$  との関係を利用して、水粒子速度を測定した 20 の各実験ケースの碎波点における一周期の間の時間波形を再現し、それを Dean の流れ関数の入力として、波の峯の位相における水平方向水粒子速度を算定する方法を試みた。万が一も必ず各ケースの  $H_0/L_0$  および  $i$  の値を与え、昨年度発表した 25 ケースの碎波の時間波形のパラメータと  $H_0/L_0$  および  $i$  との関係を示す平均曲線を用いて、これらのパラメータの値を求めよ。これらの方程式はすべて波の周期  $T$  および碎波波高  $H_b$  で無次元化されており、実測された  $T$  および  $H_b$  を用いて次元量に変換し、横軸に時間  $t$ 、縦軸に水位  $z$  をとった図に描く。図-3 はその一例を示してある。実測波形にくらべて再現波形が滑らかではあるが、図-2 に示すようにばらつきのあるパラメータの傾向を一本の平均曲線で表わしたことによる。

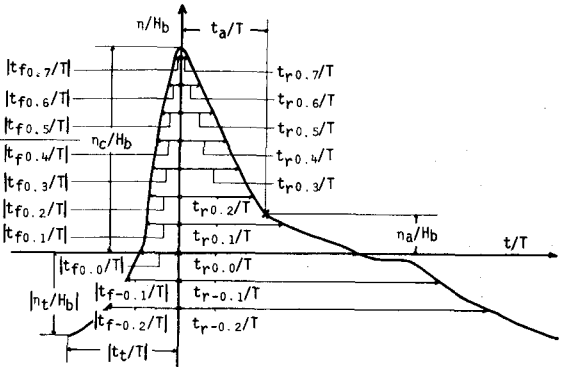
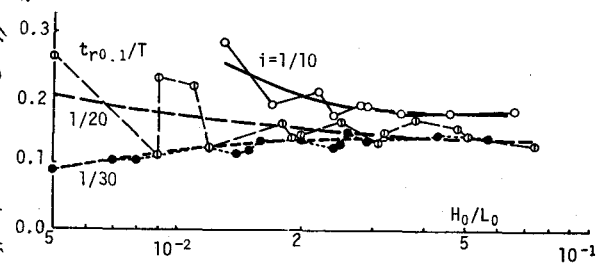


図-1 碎波の時間波形を表現するパラメータ

図-2 波形のパラメータと  $H_0/L_0$  および  $i$  との関係の一例  
( $t_{ro,1}/T$  の場合)

3. 水粒子速度の算定 つぎに図-3に例示され  
た各ケースの再現波形の一周期を15 分割( $i=1 \sim 15$ )し、各点にたり3 点を読みとり、  
Dean の流れ関数の入力として計算し、波の峯の  
位相における水平方向水粒子速度を求めた。

図-4の "D'" で示した太い実線はその一例を示す  
もので、図-3と同じケースである。図中には実  
測値および実測された波の周期T、碎波水深hb

および碎波高Hb を与えて計算した波速のオ1 およびオ2 定義によるストークス波のオ3次近似解(図中 "S" および "S'" と示して細い実線)をも示してある。また "D" で示した太い  
破線は、オ21回海岸工学講演会で発表した実測の碎波の時間  
波形を入力とした場合の Dean の流れ関数による計算値である。  
このケースの場合、再現波形に下るものの(D')と実測波形に  
よるもの(D)はほとんど差がなく、そしてストークス波理論  
はより多くよりも小さく、ほぼ実験値を説明している。他の  
ケースを含めて実験値との差を量的に表現するため、オ21  
回海岸講演会の場合と同様、 $(z+h_b)/h_b = 1.0$  (静水面)における  
計算値  $U_D'$  と実測値  $U_E$  の相対誤差を表-1に示した。表には

表-1 計算値と実測値の比較

No.	i	$H_0/L_0$	$(U_D - U_E)/U_E$	$(U_D' - U_E)/U_E$	$(U_S - U_E)/U_E$
1	$\frac{1}{10}$	0.066	0.27	0.37	0.73
		0.046	0.14	0.05	0.76
		0.029	-0.06	-0.14	0.45
		0.028	0.15	0.20	0.79
		0.022	0.16	0.42	0.93
		0.013	0.04	-0.15	0.74
7	$\frac{1}{20}$	0.074	0.27	0.71	0.53
		0.051	0.08	0.13	0.51
		0.031	0.26	0.20	0.90
		0.032	0.15	0.51	0.77
		0.020	0.02	0.23	0.60
		0.012	-0.07	-0.26	0.42
16	$\frac{1}{30}$	0.057	-0.10	0.08	0.28
		0.043	0.14	0.15	0.38
		0.029		-0.22	
		0.025	0.14	0.26	0.61
		0.016	0.10	0.07	0.50
		0.012	0.12	0.28	0.56
		0.008	0.00	0.09	0.58
		0.005	-0.02	-0.18	0.47

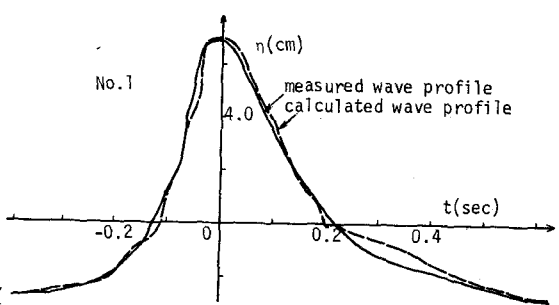


図-3 再現した時間波形の例

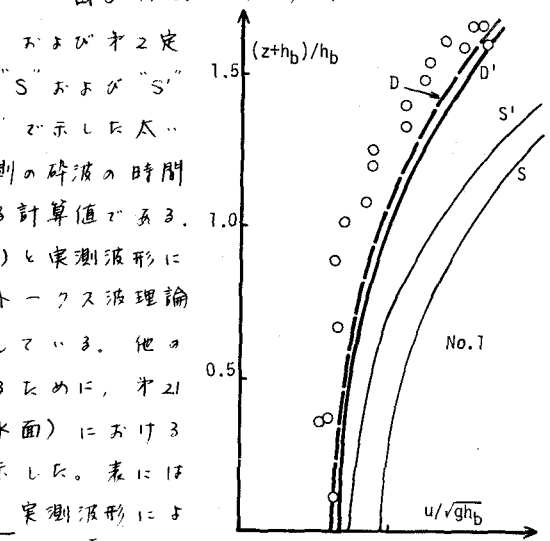


図-4 算定された碎波の峯における水平方向水粒子速度と実測値の比較の例

実測波形によ

り下げる波速の  
オ2定義によ

りストークス波の理論値  $U_S'$  についても示  
してある。一般的に  $U_D'$  は、 $U_D$  ほどではない  
が、 $U_S'$  にくらべて実測値との相対誤

差は小さいことがわかる。

以上のようには、冲波波形勾配と底勾配を  
より斜面上で碎波波形を再現し、それを

入りとして Dean の流れ関数を計算して波の  
峯の位相における水平方向水粒子速度を求

めると、この方法は、一種の最小区間法によ  
り流れ関数の係数を計算し上げればな

く年間かかる。光の意味で実用的ではあるが、現状ではまだ未